

# Диофантовы экспоненты решёток и рост многомерных аналогов неполных частных \*

Э. Р. Бигушев, О. Н. Герман

## Аннотация

В данной работе мы изучаем трёхмерный аналог связи экспоненты иррациональности вещественного числа с ростом его неполных частных при разложении в обыкновенную цепную дробь. В качестве многомерного обобщения цепных дробей мы рассматриваем полиэдры Клейна.

## 1 Введение

**Экспонента иррациональности.** Пусть  $\theta$  — вещественное число. *Экспонентой иррациональности* этого числа называется величина

$$\mu(\theta) = \sup \left\{ \gamma \in \mathbb{R} \mid \left| \theta - p/q \right| \leq |q|^{-\gamma} \text{ имеет } \infty \text{ решений в } (q, p) \in \mathbb{Z}^2 \right\}. \quad (1)$$

Для рациональных чисел экспонента иррациональности, очевидно, равна 0, для иррациональных она не меньше 1 ввиду теоремы Дирихле о приближении вещественного числа рациональными. Если  $\theta$  иррационально, оно раскладывается в бесконечную (обыкновенную) цепную дробь  $\theta = [a_0; a_1, a_2, \dots]$  и  $\mu(\theta)$  можно следующим образом связать с ростом неполных частных:

$$\mu(\theta) = 2 + \limsup_{n \rightarrow \infty} \frac{\log a_{n+1}}{\log q_n}. \quad (2)$$

Здесь  $q_0, q_1, q_2, \dots$  — последовательность знаменателей подходящих дробей  $\theta$ .

Многие утверждения о цепных дробях имеют многомерные аналоги. В данной работе мы исследуем с этой точки зрения соотношение (2), интерпретируем его геометрически и доказываем трёхмерный аналог неравенства

$$\mu(\theta) \leq 2 + \limsup_{n \rightarrow \infty} \frac{\log a_{n+1}}{\log q_n}. \quad (3)$$

---

\*Исследование выполнено за счёт гранта Российского научного фонда № 22-21-00079, <https://rscf.ru/project/22-21-00079/>

**Полигоны Клейна.** Цепные дроби имеют весьма изящную геометрическую интерпретацию. Пусть  $\theta_1, \theta_2$  — различные вещественные числа. Рассмотрим линейные формы  $L_1, L_2$  от двух переменных с коэффициентами, записанными в строчках матрицы

$$A = \begin{pmatrix} \theta_1 & -1 \\ \theta_2 & -1 \end{pmatrix}. \quad (4)$$

Рассмотрим выпуклые оболочки

$$\mathcal{K}_1 = \text{conv} \left( \left\{ \mathbf{z} \in \mathbb{Z}^2 \setminus \{0\} \mid L_1(\mathbf{z}) \geq 0, L_2(\mathbf{z}) \leq 0 \right\} \right),$$

$$\mathcal{K}_2 = \text{conv} \left( \left\{ \mathbf{z} \in \mathbb{Z}^2 \setminus \{0\} \mid L_1(\mathbf{z}) \leq 0, L_2(\mathbf{z}) \leq 0 \right\} \right).$$

Эти выпуклые оболочки (см. рис.1), равно как и  $-\mathcal{K}_1, -\mathcal{K}_2$ , называются *полигонами Клейна*.

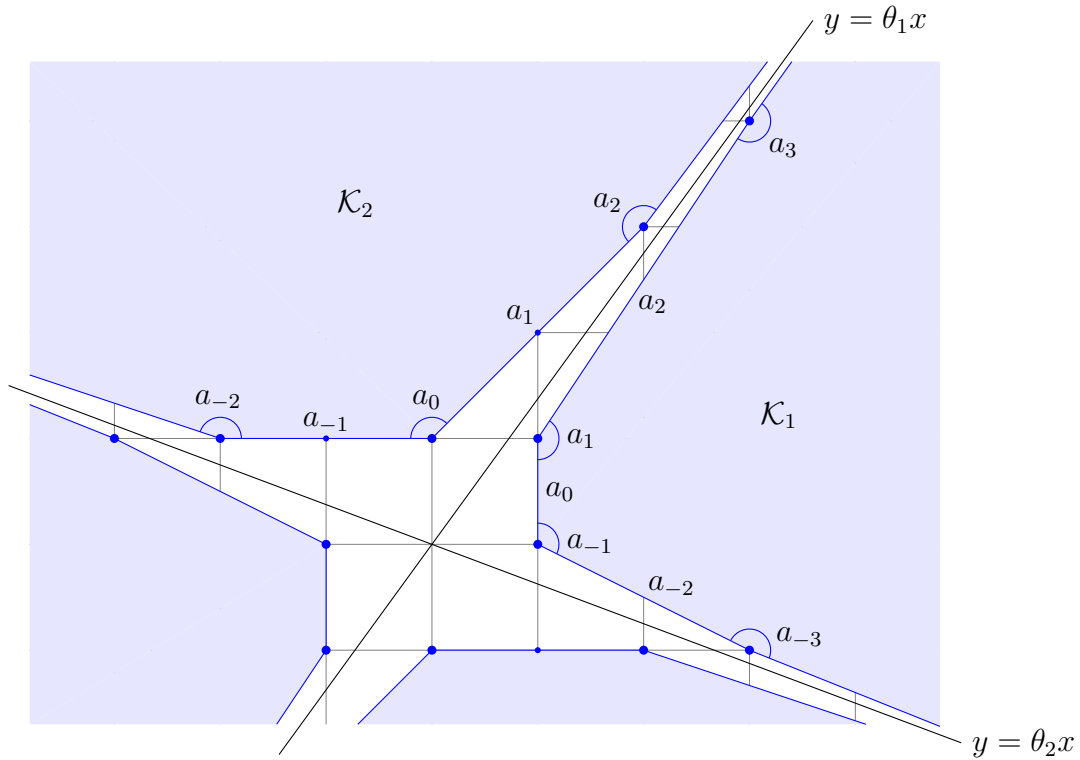


Рис. 1: Полигоны Клейна для  $\theta_1 = [a_0; a_1, a_2, \dots]$ ,  $-1/\theta_2 = [a_{-1}; a_{-2}, a_{-3}, \dots]$

Целочисленно-комбинаторная структура границ  $\partial\mathcal{K}_1$  и  $\partial\mathcal{K}_2$  тесно связана с цепными дробями чисел  $\theta_1$  и  $\theta_2$ . Подробное описание этой связи можно найти, к примеру, в работах [1], [2] (см. также книгу [3]). Здесь же мы лишь укажем на следующий ключевой факт. Допустим, справедливо

$$\theta_1 > 1, \quad -1 < \theta_2 < 0. \quad (5)$$

Тогда координаты вершин  $\mathcal{K}_1$  и  $\mathcal{K}_2$  равны (с точностью до знака) знаменателям и числителям подходящих дробей чисел  $\theta_1$  и  $\theta_2$ , а целочисленные длины рёбер

равны соответствующим неполным частным этих чисел. Напомним, что *целочисленной длиной* целочисленного отрезка (т.е. отрезка, концы которого имеют целые координаты) называется количество пустых целочисленных отрезков, в нём содержащихся. Таким образом, каждому ребру полигона Клейна «приписывается» соответствующее ему неполное частное. Более того, неполные частные можно приписать и всем вершинам. Причина этого в том, что существует биекция (см. рис.2) между вершинами  $\mathcal{K}_1$  и рёбрами  $\mathcal{K}_2$ , при которой вершина  $\mathbf{v}$  соответствует ребру целочисленной длины

$$\text{ang}(\mathbf{v}) = |\det(\mathbf{r}_1, \mathbf{r}_2)|, \quad (6)$$

где  $\mathbf{r}_1$  и  $\mathbf{r}_2$  суть примитивные целочисленные векторы, параллельные рёбрам, инцидентным вершине  $\mathbf{v}$ . На рис.2 имеем  $\mathbf{r}_1 = \mathbf{w} - \mathbf{v}$ ,  $\mathbf{r}_2 = \mathbf{u} - \mathbf{v}$ . Величину  $\text{ang}(\mathbf{v})$  называют *целочисленным углом* при вершине  $\mathbf{v}$ .

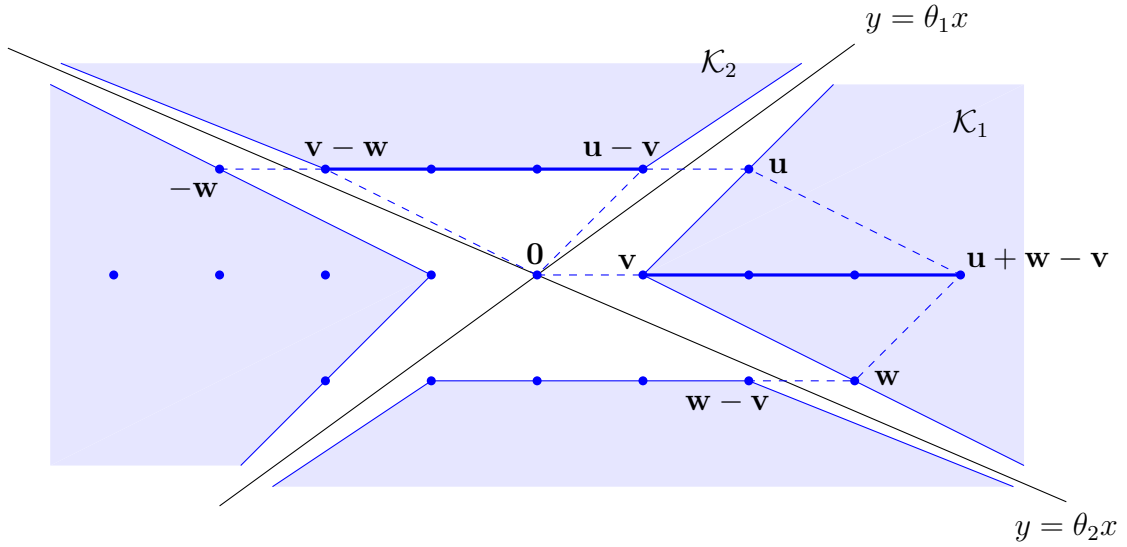


Рис. 2: Соответствие между рёбрами и вершинами

Таким образом, полигоны Клейна, оснащённые целочисленными длинами рёбер и целочисленными углами при вершинах, можно рассматривать как геометрическую интерпретацию цепных дробей. Отметим, что если условие (5) не выполняется, указанное выше соответствие будет нарушаться лишь в некоторой окрестности начала координат. Стало быть, если обозначить через  $\mathcal{V} = \mathcal{V}(\pm\mathcal{K}_1, \pm\mathcal{K}_2)$  множество вершин полигонов Клейна  $\mathcal{K}_1, -\mathcal{K}_1, \mathcal{K}_2, -\mathcal{K}_2$ , то (2) можно переписать следующим образом:

$$\max(\mu(\theta_1), \mu(\theta_2)) = 2 + \limsup_{\substack{\mathbf{v} \in \mathcal{V}, |\mathbf{v}| > 1 \\ |\mathbf{v}| \rightarrow \infty}} \frac{\log(\text{ang}(\mathbf{v}))}{\log |\mathbf{v}|}. \quad (7)$$

**Диофантова экспонента решётки.** Для решёток в произвольной размерности определено понятие диофантовой экспоненты. Положим для каждого  $\mathbf{x} = (x_1, \dots, x_n) \in \mathbb{R}^n$

$$\Pi(\mathbf{x}) = |x_1 \cdot \dots \cdot x_n|^{1/n}.$$

**Определение 1.** Пусть  $\Lambda$  — произвольная решётка в  $\mathbb{R}^n$  полного ранга. *Диофантовой экспонентой* этой решётки называется величина

$$\omega(\Lambda) = \sup \left\{ \gamma \in \mathbb{R} \mid \exists \infty \mathbf{x} \in \Lambda : \Pi(\mathbf{x}) \leq |\mathbf{x}|^{-\gamma} \right\}, \quad (8)$$

где  $|\cdot|$  означает sup-норму.

Вернёмся к цепным дробям чисел  $\theta_1, \theta_2$  и полигонам Клейна  $\mathcal{K}_1, \mathcal{K}_2$ . Пусть, как и прежде,  $\mathcal{V}$  — множество вершин  $\pm\mathcal{K}_1, \pm\mathcal{K}_2$ . Пусть матрица  $A$  задаётся (4). Рассмотрим решётку

$$\Lambda = AZ^2 = \left\{ (L_1(\mathbf{z}), L_2(\mathbf{z})) \mid \mathbf{z} \in \mathbb{Z}^2 \right\}.$$

Из соображений выпуклости точки множества  $\mathcal{V}$  являются локальными минимумами функции  $L_1(\mathbf{x}) \cdot L_2(\mathbf{x})$  (рассматриваемой на объединении полигонов  $\pm\mathcal{K}_1, \pm\mathcal{K}_2$ ). Следовательно, в определении  $\omega(\Lambda)$  (см. (8)) множество всех точек решётки  $\Lambda$  можно заменить на множество  $A(\mathcal{V})$ :

$$\omega(\Lambda) = \sup \left\{ \gamma \in \mathbb{R} \mid \exists \infty \mathbf{x} \in A(\mathcal{V}) : \Pi(\mathbf{x}) \leq |\mathbf{x}|^{-\gamma} \right\}. \quad (9)$$

Далее, если  $\mathbf{v} = (q, p)$  — точка из  $\mathcal{V}$ , то для  $\mathbf{w} = A\mathbf{v} = (L_1(\mathbf{v}), L_2(\mathbf{v}))$  имеем при достаточно большом  $|q|$

$$\begin{aligned} \Pi(\mathbf{w})^2 &= |q\theta_1 - p| \cdot |q\theta_2 - p| \asymp \\ &\asymp |q| \min(|q\theta_1 - p|, |q\theta_2 - p|) = \\ &= q^2 \min(|\theta_1 - p/q|, |\theta_2 - p/q|) \end{aligned}$$

и

$$|\mathbf{w}| \asymp |\mathbf{v}| \asymp |q|.$$

Стало быть, при достаточно большом  $|q|$

$$\Pi(\mathbf{w}) \asymp |\mathbf{w}|^{-\gamma} \iff \min(|\theta_1 - p/q|, |\theta_2 - p/q|) \asymp q^{-2-2\gamma} \quad (10)$$

Эквивалентность (10) ввиду (9) и (1) приводит к равенству

$$\max(\mu(\theta_1), \mu(\theta_2)) = 2 + 2\omega(\Lambda). \quad (11)$$

Комбинируя (7) и (11), получаем геометрическую интерпретацию равенства (2):

$$\omega(\Lambda) = \frac{1}{2} \limsup_{\substack{\mathbf{v} \in \mathcal{V}, |\mathbf{v}| > 1 \\ |\mathbf{v}| \rightarrow \infty}} \frac{\log(\text{ang}(\mathbf{v}))}{\log |\mathbf{v}|}.$$

Соответственно, целью данной работы является обобщение на трёхмерный случай неравенства

$$\omega(\Lambda) \leq \frac{1}{2} \limsup_{\substack{\mathbf{v} \in \mathcal{V}, |\mathbf{v}| > 1 \\ |\mathbf{v}| \rightarrow \infty}} \frac{\log(\text{ang}(\mathbf{v}))}{\log |\mathbf{v}|}. \quad (12)$$

## 2 Формулировка основного результата

Пусть  $L_1, L_2, L_3$  — линейно независимые линейные формы от трёх переменных. Нулевые подпространства форм  $L_1, L_2, L_3$  разбивают  $\mathbb{R}^3$  на восемь симплицальных (замкнутых) конусов. В каждом из них рассмотрим выпуклую оболочку ненулевых целых точек. Обозначим их  $\mathcal{K}_i, i = 1, \dots, 8$  (в произвольном порядке). Эти выпуклые оболочки называются *полиэдрами Клейна* (соответствующими линейным формам  $L_1, L_2, L_3$ ).

Если формы  $L_1, L_2, L_3$  не обращаются в нуль в ненулевых целых точках, то, как показано в [4], все  $\mathcal{K}_i$  суть обобщённые многогранники (т.е. их пересечения с любыми компактными многогранниками также являются многогранниками). В частности, в этом случае в каждой вершине полиэдра Клейна сходится конечное число рёбер. Стало быть, мы можем определить для рёберной звезды вершины полиэдра Клейна многомерный аналог целочисленного угла. Вообще говоря, такой многомерный аналог можно определять по-разному. Мы воспользуемся понятием *определителя* рёберной звезды, введённым в работах [5], [6].

Пусть  $\mathcal{K}$  — один из  $\mathcal{K}_i$  и пусть  $\mathbf{v}$  — какая-то его вершина. Пусть  $\mathbf{r}_1, \dots, \mathbf{r}_k$  — примитивные целочисленные векторы, параллельные рёбрам  $\mathcal{K}$ , инцидентным вершине  $\mathbf{v}$ . Обозначим через  $\text{St}_{\mathbf{v}}$  рёберную звезду вершины  $\mathbf{v}$ .

**Определение 2.** *Определителем* рёберной звезды  $\text{St}_{\mathbf{v}}$  называется величина

$$\det \text{St}_{\mathbf{v}} = \sum_{1 \leq i_1 < i_2 < i_3 \leq k} |\det(\mathbf{r}_{i_1}, \mathbf{r}_{i_2}, \mathbf{r}_{i_3})|.$$

Нетрудно доказать, что определяемый таким образом  $\det \text{St}_{\mathbf{v}}$  равняется объёму суммы Минковского отрезков  $[\mathbf{0}, \mathbf{r}_1], \dots, [\mathbf{0}, \mathbf{r}_k]$ . Ясно также, что аналогичная величина в двумерном случае в точности совпадает с целочисленным углом при вершине (см. (6)).

Следующее утверждение являются основным результатом данной работы.

**Теорема 1.** *Рассмотрим решётку*

$$\Lambda = \left\{ (L_1(\mathbf{z}), L_2(\mathbf{z}), L_3(\mathbf{z})) \mid \mathbf{z} \in \mathbb{Z}^3 \right\}. \quad (13)$$

*Пусть формы  $L_1, L_2, L_3$  не обращаются в нуль в ненулевых целых точках. Пусть  $\mathcal{K}_1, \dots, \mathcal{K}_8$  — полиэдры Клейна, соответствующие этим линейным формам, и пусть  $\mathcal{V}$  — множество всех их вершин. Тогда*

$$\omega(\Lambda) \leq \frac{2}{3} \limsup_{\substack{\mathbf{v} \in \mathcal{V}, |\mathbf{v}| > 1 \\ |\mathbf{v}| \rightarrow \infty}} \frac{\log(\det \text{St}_{\mathbf{v}})}{\log |\mathbf{v}|}. \quad (14)$$

## 3 Доказательство теоремы 1

По аналогии с двумерным случаем обозначим через  $A$  матрицу  $3 \times 3$ , в строках которой записаны коэффициенты линейных форм  $L_1, L_2, L_3$ . Не ограничивая общности, можно считать, что  $\det A = 1$ . Тогда

$$\Lambda = AZ^3, \quad \det \Lambda = 1.$$

Положим

$$\mathcal{K}'_i = A\mathcal{K}_i.$$

Тогда  $\mathcal{K}'_1, \dots, \mathcal{K}'_8$  суть выпуклые оболочки ненулевых точек решётки  $\Lambda$  в каждом из 8 ортантов. Они называются *полиэдрами Клейна* решётки  $\Lambda$ . Рассмотрим  $\mathcal{W} = A(\mathcal{V})$  — множество всех их вершин. Как и в двумерном случае, воспользуемся тем, что точки множества  $\mathcal{W}$  являются локальными минимумами функции  $\Pi(\mathbf{x})$  (рассматриваемой на объединении полиэдров  $\mathcal{K}'_1, \dots, \mathcal{K}'_8$ ). Тогда

$$\omega(\Lambda) = \limsup_{\substack{\mathbf{x} \in \Lambda, |\mathbf{x}| > 1 \\ |\mathbf{x}| \rightarrow \infty}} \frac{\log(\Pi(\mathbf{x})^{-1})}{\log|\mathbf{x}|} = \limsup_{\substack{\mathbf{w} \in \mathcal{W}, |\mathbf{w}| > 1 \\ |\mathbf{w}| \rightarrow \infty}} \frac{\log(\Pi(\mathbf{w})^{-1})}{\log|\mathbf{w}|}. \quad (15)$$

Каждой точке  $\mathbf{w} \in \mathcal{W}$  соответствует точка  $\mathbf{v} \in \mathcal{V}$ , такая что  $\mathbf{w} = A\mathbf{v}$ . При таком соответствии  $\text{St}_{\mathbf{w}} = A(\text{St}_{\mathbf{v}})$ , то есть

$$\det \text{St}_{\mathbf{w}} = \det \text{St}_{\mathbf{v}} \quad \text{и} \quad |\mathbf{w}| \asymp |\mathbf{v}| \quad \text{при} \quad |\mathbf{v}| \rightarrow \infty.$$

Таким образом, ввиду (15), для доказательства (14) достаточно показать, что

$$\frac{\log(\Pi(\mathbf{w})^{-1})}{\log|\mathbf{w}|} \leq \frac{2}{3} \cdot \frac{\log(\det \text{St}_{\mathbf{w}})}{\log|\mathbf{w}|} + o(1) \quad (16)$$

при  $\mathbf{w} \in \mathcal{W}$ ,  $|\mathbf{w}| \rightarrow \infty$ . На самом деле мы докажем нечто большее. Справедливо следующее *локальное* утверждение.

**Предложение 1.** *Существует такая положительная константа  $c$ , что для любой точки  $\mathbf{w} \in \mathcal{W}$  справедливо*

$$\det \text{St}_{\mathbf{w}} \geq c\Pi(\mathbf{w})^{-3/2}. \quad (17)$$

*Доказательство.* Положим  $\varepsilon$  равным произвольному достаточно малому положительному числу, например,

$$\varepsilon = 2^{-100}.$$

Если  $\Pi(\mathbf{w}) \geq \varepsilon$ , то при  $c_1 = \varepsilon^{3/2}$  справедливо  $\det \text{St}_{\mathbf{w}} \geq 1 \geq c_1\Pi(\mathbf{w})^{-3/2}$ . Будем далее считать, что

$$\Pi(\mathbf{w}) < \varepsilon. \quad (18)$$

Разобьём наше рассуждение на несколько шагов.

**Шаг 1. Гиперболический поворот.** Пусть  $\mathbf{w} = (w_1, \dots, w_d)$ . Рассмотрим диагональный оператор

$$D = \text{diag}\left(\Pi(\mathbf{w})/w_1, \dots, \Pi(\mathbf{w})/w_d\right).$$

Положим

$$\mathbf{u} = D\mathbf{w}, \quad \Lambda_{\mathbf{w}} = D\Lambda, \quad \mathcal{K}_{\mathbf{w}} = D\mathcal{K}'_i,$$

где  $\mathcal{K}'_i$  — тот полиэдр, вершиной которого является  $\mathbf{w}$ . Тогда  $\mathcal{K}_{\mathbf{w}}$  — полиэдр Клейна решётки  $\Lambda_{\mathbf{w}}$ , соответствующий положительному ортанту (то есть конусу, состоящему из точек с неотрицательными координатами), и

$$\det \Lambda_{\mathbf{w}} = \det \Lambda = 1, \quad \det \text{St}_{\mathbf{u}} = \det \text{St}_{\mathbf{w}},$$

поскольку  $|\det D| = 1$ . При этом все координаты точки  $\mathbf{u}$  равны  $\Pi(\mathbf{w})$ . В частности,

$$|\mathbf{u}| = \Pi(\mathbf{u}) = \Pi(\mathbf{w}) < \varepsilon.$$

**Шаг 2. Короткие и длинные векторы.** Покажем, что вектор  $\mathbf{u}$  является кратчайшим вектором решётки  $\Lambda_{\mathbf{w}}$  в  $\text{sup}$ -норме. Рассмотрим куб  $\mathcal{B}$ , являющийся замкнутым шаром радиуса  $|\mathbf{u}|$  в  $\text{sup}$ -норме. Это куб с центром в начале координат  $\mathbf{0}$  с ребром  $2|\mathbf{u}|$ . Поскольку  $\mathbf{u}$  — вершина  $\mathcal{K}_{\mathbf{w}}$ , существует опорная к  $\mathcal{K}_{\mathbf{w}}$  гиперплоскость, пересекающаяся с  $\mathcal{K}_{\mathbf{w}}$  по точке  $\mathbf{u}$ . Эта гиперплоскость делит куб  $\mathbf{u} + \mathcal{B}$  на две симметричные относительно  $\mathbf{u}$  части. В той части, которая содержит точку  $\mathbf{0}$ , нет точек решётки  $\Lambda_{\mathbf{w}}$ , отличных от  $\mathbf{0}$  и  $\mathbf{u}$ . Стало быть, во всём кубе  $\mathbf{u} + \mathcal{B}$  нет точек решётки, отличных от  $\mathbf{0}$ ,  $\mathbf{u}$ ,  $2\mathbf{u}$ . Значит, и куб  $\mathcal{B}$  не содержит точек  $\Lambda_{\mathbf{w}}$ , отличных от  $\mathbf{0}$ ,  $\mathbf{u}$ ,  $-\mathbf{u}$ . Таким образом,  $\mathbf{u}$ , действительно, является кратчайшим вектором решётки  $\Lambda_{\mathbf{w}}$  в  $\text{sup}$ -норме.

Пусть  $\mathbf{p}_1, \dots, \mathbf{p}_k$  — примитивные векторы решётки  $\Lambda_{\mathbf{w}}$ , параллельные рёбрам  $\mathcal{K}_{\mathbf{w}}$ , инцидентным вершине  $\mathbf{u}$ . Эти векторы — образы при действии оператора  $DA$  векторов  $\mathbf{r}_1, \dots, \mathbf{r}_k$  из определения 2 и

$$\det \text{St}_{\mathbf{u}} = \sum_{1 \leq i_1 < i_2 < i_3 \leq k} |\det(\mathbf{p}_{i_1}, \mathbf{p}_{i_2}, \mathbf{p}_{i_3})|.$$

Упорядочим  $\mathbf{p}_1, \dots, \mathbf{p}_k$  по возрастанию их евклидовой нормы, для которой будем использовать обозначение  $|\cdot|_2$ . Для любого  $\mathbf{p}_i$ , такого что  $\mathbf{u}, \mathbf{p}_1, \mathbf{p}_i$  линейно независимы, справедливо  $|\mathbf{u}|_2 |\mathbf{p}_i|_2^2 \geq |\mathbf{u}|_2 |\mathbf{p}_1|_2 |\mathbf{p}_i|_2 \geq |\det(\mathbf{u}, \mathbf{p}_1, \mathbf{p}_i)| \geq \det \Lambda_{\mathbf{w}} = 1$ , то есть  $|\mathbf{p}_i|_2 \geq |\mathbf{u}|_2^{-1/2}$ , откуда

$$|\mathbf{p}_i| \geq \frac{|\mathbf{p}_i|_2}{\sqrt{3}} \geq \frac{|\mathbf{u}|_2^{-1/2}}{\sqrt{3}} \geq \frac{(|\mathbf{u}| \sqrt{3})^{-1/2}}{\sqrt{3}} = \frac{|\mathbf{u}|}{3^{3/4} |\mathbf{u}|^{3/2}} > \frac{|\mathbf{u}|}{3^{3/4} \varepsilon^{3/2}} > \frac{|\mathbf{u}|}{4\varepsilon}. \quad (19)$$

**Шаг 3. Полигон Клейна.** Рассмотрим двумерное подпространство  $\pi$ , порождённое векторами  $\mathbf{u}, \mathbf{p}_1$  и решётку  $\Gamma = \pi \cap \Lambda_{\mathbf{w}}$ . Поскольку треугольник с вершинами  $\mathbf{0}, \mathbf{u}, \mathbf{u} + \mathbf{p}_1$  не содержит точек решётки  $\Lambda_{\mathbf{w}}$ , отличных от вершин, векторы  $\mathbf{u}, \mathbf{p}_1$  образуют базис решётки  $\Gamma$ . Обозначим через  $\mathcal{C}$  пересечение  $\pi$  с положительным ортантом и рассмотрим  $\mathcal{K}_{\pi} = \text{conv}(\mathcal{C} \cap \Gamma \setminus \{\mathbf{0}\})$  — полигон Клейна решётки  $\Gamma$ , соответствующий конусу  $\mathcal{C}$ . Тогда  $\mathbf{p}_1$  — примитивный вектор решётки  $\Gamma$ , параллельный одному из рёбер  $\mathcal{K}_{\pi}$ , инцидентных вершине  $\mathbf{u}$ . Обозначим через  $\mathbf{p}'_1$  примитивный вектор  $\Gamma$ , параллельный второму из этих рёбер. Отметим, что  $\mathbf{p}'_1$ , вообще говоря, не обязан быть одним из  $\mathbf{p}_2, \dots, \mathbf{p}_k$ . Векторы  $\mathbf{u}, \mathbf{p}'_1$  также образуют базис решётки  $\Gamma$ . Стало быть, точки  $\mathbf{p}_1$  и  $\mathbf{p}'_1$  находятся на одинаковом расстоянии от прямой, порождённой  $\mathbf{u}$ . Следовательно,

$$\mathbf{p}_1 + \mathbf{p}'_1 = t\mathbf{u}, \quad t \in \mathbb{N} \quad (20)$$

(ср. с рис. 2). Таким образом, если положить для  $\mathbf{x} = (x_1, x_2, x_3)$

$$M(\mathbf{x}) = x_1 + x_2 + x_3,$$

то ввиду (20) получим  $M(\mathbf{p}_1 + \mathbf{p}'_1) \geq 3|\mathbf{u}|$ , откуда либо  $M(\mathbf{u} + \mathbf{p}_1) \geq \frac{9}{2}|\mathbf{u}|$ , либо  $M(\mathbf{u} + \mathbf{p}'_1) \geq \frac{9}{2}|\mathbf{u}|$ .

Учитывая (19), заключаем, что среди точек  $\mathbf{u} + \mathbf{p}_i$ ,  $i = 1, \dots, k$ , неравенству

$$M(\mathbf{x}) < \frac{9}{2}|\mathbf{u}| \quad (21)$$

удовлетворяет не более чем одна, причём это или  $\mathbf{u} + \mathbf{p}_1$ , или  $\mathbf{u} + \mathbf{p}_2$  (последнее возможно лишь тогда, когда  $\mathbf{p}'_1 = \mathbf{p}_2$ ).

**Шаг 4. Сечение и выпуклая оболочка.** Положим

$$M_1(\mathbf{x}) = x_1 + x_2 + \frac{9}{4}x_3, \quad M_2(\mathbf{x}) = x_1 + \frac{9}{4}x_2 + x_3, \quad M_3(\mathbf{x}) = \frac{9}{4}x_1 + x_2 + x_3.$$

Для любой точки  $\mathbf{x} = (x_1, x_2, x_3)$ , удовлетворяющей неравенствам

$$x_1, x_2, x_3 \geq 0, \quad M_1(\mathbf{x}), M_2(\mathbf{x}), M_3(\mathbf{x}) \leq \frac{9}{2}|\mathbf{u}|, \quad (22)$$

справедливо  $x_1, x_2, x_3 \leq 2|\mathbf{u}|$ . Но, как мы заметили выше, в кубе  $\mathbf{u} + \mathcal{B}$  нет точек решётки, отличных от  $\mathbf{0}, \mathbf{u}, 2\mathbf{u}$ . Стало быть, никакая из точек  $\mathbf{u} + \mathbf{p}_i, i = 1, \dots, k$ , не удовлетворяет (22). Таким образом, если среди этих точек и существует такая, которая удовлетворяет (21), она будет удовлетворять хотя бы одному из неравенств

$$M_1(\mathbf{x}) > \frac{9}{2}|\mathbf{u}|, \quad M_2(\mathbf{x}) > \frac{9}{2}|\mathbf{u}|, \quad M_3(\mathbf{x}) > \frac{9}{2}|\mathbf{u}|.$$

Не ограничивая общности, можно считать, что она удовлетворяет первому из них. Тогда и для каждого  $i = 1, \dots, k$  справедливо

$$M_1(\mathbf{u} + \mathbf{p}_i) \geq \frac{9}{2}|\mathbf{u}|,$$

поскольку при неотрицательных  $x_1, x_2, x_3$  справедливо  $M_1(\mathbf{x}) \geq M(\mathbf{x})$ .

Обозначим через  $\mathcal{O}$  положительный ортант — конус, состоящий из точек с неотрицательными координатами. Рассмотрим плоскость

$$\mathcal{M} = \left\{ \mathbf{x} \in \mathbb{R}^3 \mid M_1(\mathbf{x}) = \frac{9}{2}|\mathbf{u}| \right\}$$

и сечения

$$\mathcal{S} = \mathcal{M} \cap \mathcal{O}, \quad \mathcal{T} = \mathcal{M} \cap (\mathbf{u} + \mathcal{O}), \quad \mathcal{P} = \mathcal{M} \cap \mathcal{K}_{\mathbf{w}}.$$

Тогда  $\mathcal{T} \subset \mathcal{P} \subset \mathcal{S}$ , причём  $\mathcal{T}$  не пусто, ибо  $M_1(\mathbf{u}) = \frac{17}{4}|\mathbf{u}| < \frac{9}{2}|\mathbf{u}|$ . Более того,  $\mathcal{T}$  является треугольником с вершинами в точках

$$\left( \frac{5}{4}|\mathbf{u}|, |\mathbf{u}|, |\mathbf{u}| \right), \quad \left( |\mathbf{u}|, \frac{5}{4}|\mathbf{u}|, |\mathbf{u}| \right), \quad \left( |\mathbf{u}|, |\mathbf{u}|, \frac{10}{9}|\mathbf{u}| \right).$$

Множество  $\mathcal{S}$  является треугольником с вершинами в точках

$$\left( \frac{9}{2}|\mathbf{u}|, 0, 0 \right), \quad \left( 0, \frac{9}{2}|\mathbf{u}|, 0 \right), \quad \left( 0, 0, 2|\mathbf{u}| \right).$$

Множество  $\mathcal{P}$  является многоугольником с вершинами в точках пересечения отрезков  $[\mathbf{u}, \mathbf{u} + \mathbf{p}_i], i = 1, \dots, k$ , с плоскостью  $\mathcal{M}$ . При этом из (19) следует, что вершины  $\mathcal{P}$ , соответствующие  $\mathbf{p}_i$ , не лежащим в подпространстве  $\pi$ , то есть линейно независимым с  $\mathbf{u}$  и  $\mathbf{p}_1$ , содержатся в

$$\mathcal{T}_\varepsilon = \mathcal{M} \cap ((1 - \varepsilon)\mathbf{u} + \mathcal{O}).$$

Вершины же, соответствующие  $\mathbf{p}_i$ , лежащим в  $\pi$ , содержатся в отрезке

$$\mathcal{I} = \mathcal{S} \cap \pi.$$

Таким образом,

$$\mathcal{T} \subset \mathcal{P} \subset \text{conv}(\mathcal{T}_\varepsilon \cup \mathcal{I}). \quad (23)$$



**Шаг 5. Анализ сечения.** Обозначим через  $\mathbf{a}$  точку пересечения плоскости  $\mathcal{M}$  с прямой, порождённой вектором  $\mathbf{u}$ . Тогда координаты точки  $\mathbf{a}$  равны, эта точка принадлежит отрезку  $\mathcal{I}$  и является центром гомотетии треугольников  $\mathcal{T}$ ,  $\mathcal{T}_\varepsilon$ ,  $\mathcal{S}$ . Выделим в  $\mathcal{S}$  три зоны (см. рис. 3):

$$\begin{aligned}\Omega_1 &= \left\{ \mathbf{x} = (x_1, x_2, x_3) \in \mathcal{S} \setminus \mathcal{T} \mid x_2 < \frac{x_1 + x_3}{2}, x_3 \leq \frac{x_1 + x_2}{2} \right\}, \\ \Omega_2 &= \left\{ \mathbf{x} = (x_1, x_2, x_3) \in \mathcal{S} \setminus \mathcal{T} \mid x_3 < \frac{x_1 + x_2}{2}, x_1 \leq \frac{x_2 + x_3}{2} \right\}, \\ \Omega_3 &= \left\{ \mathbf{x} = (x_1, x_2, x_3) \in \mathcal{S} \setminus \mathcal{T} \mid x_1 < \frac{x_2 + x_3}{2}, x_2 \leq \frac{x_1 + x_3}{2} \right\}.\end{aligned}$$

Отрезок  $\mathcal{I}$  имеет непустое пересечение ровно с одним из множеств  $\Omega_1$ ,  $\Omega_2$ ,  $\Omega_3$ . На рис. 3 изображён случай пересечения с  $\Omega_3$ . Разберём подробно этот случай. Остальные два разбираются аналогично.

Обозначим через  $\mathbf{b}$  конец отрезка  $\mathcal{I}$ , не принадлежащий  $\Omega_3$ . Проведём из точки  $\mathbf{b}$  прямые через нижние вершины треугольника  $\mathcal{T}$ . Эти прямые отсекают от  $\mathcal{T}_\varepsilon$  треугольники  $\Delta_1$  и  $\Delta_2$ . Каждый из них в силу (23) обязан содержать хотя бы одну вершину  $\mathcal{P}$ . Пусть  $\Delta_1$  содержит вершину, соответствующую  $\mathbf{p}_{i_1}$ , и  $\Delta_2$  — вершину, соответствующую  $\mathbf{p}_{i_2}$ . Покажем, что  $\Omega_3$  также содержит вершину  $\mathcal{P}$ . Если это не так, то в соотношении (23) отрезок  $\mathcal{I}$  можно заменить отрезком  $[\mathbf{a}, \mathbf{b}]$ :

$$\mathcal{T} \subset \mathcal{P} \subset \text{conv}(\mathcal{T}_\varepsilon \cup [\mathbf{a}, \mathbf{b}]).$$

Тогда из предположения, что  $\Omega_3$  не содержит вершин  $\mathcal{P}$ , следует, что верхняя вершина  $\mathcal{T}$  не принадлежит  $\mathcal{P}$ , что противоречит включению  $\mathcal{T} \subset \mathcal{P}$ . Стало быть, в  $\Omega_3$  найдётся вершина  $\mathcal{P}$ . Пусть она соответствует  $\mathbf{p}_{i_3}$ .

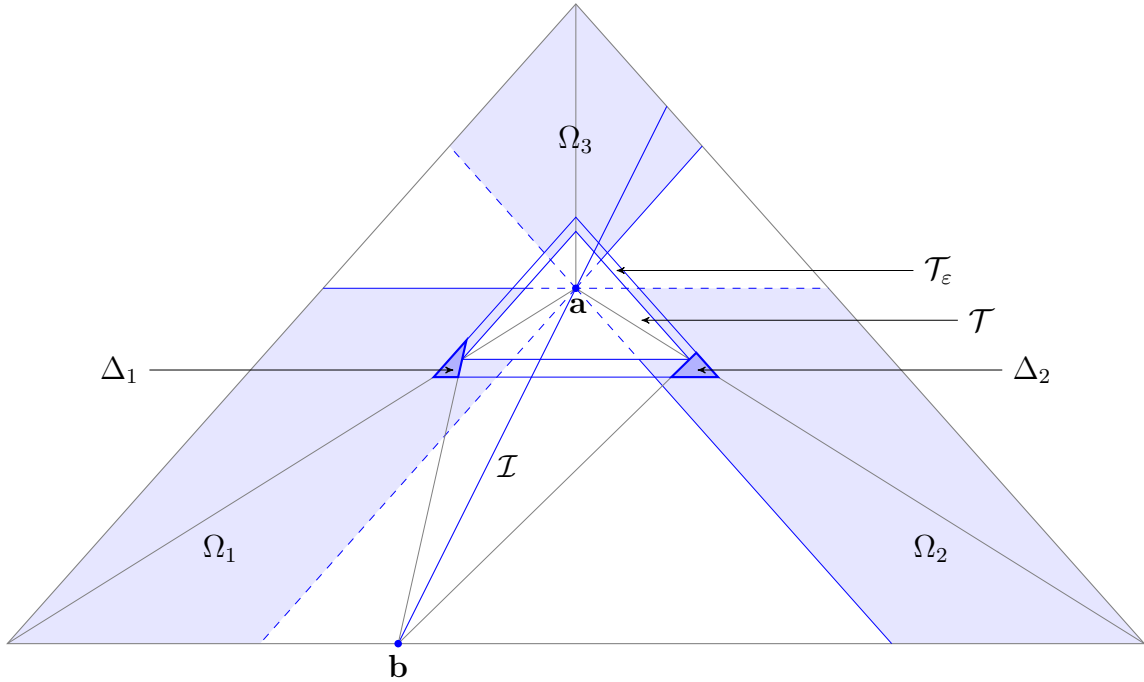


Рис. 3: Сечение плоскостью  $\mathcal{M}$

**Шаг 6. Непосредственная оценка.** Поскольку  $\varepsilon$  мало, найденные векторы  $\mathbf{p}_{i_1}, \mathbf{p}_{i_2}, \mathbf{p}_{i_3}$  удовлетворяют следующим двум условиям:

1) любые два из них линейно независимы с вектором  $\mathbf{u}$ ;

2)  $|\det(\mathbf{p}_{i_1}, \mathbf{p}_{i_2}, \mathbf{p}_{i_3})| \asymp |\mathbf{p}_{i_1}| \cdot |\mathbf{p}_{i_2}| \cdot |\mathbf{p}_{i_3}|$ .

Причём константы, подразумеваемые знаком „ $\asymp$ “, абсолютны. Благодаря этим свойствам получаем:

$$\begin{aligned} \Pi(\mathbf{u})^3 \det(\mathbf{p}_{i_1}, \mathbf{p}_{i_2}, \mathbf{p}_{i_3})^2 &\asymp |\mathbf{u}|^3 |\mathbf{p}_{i_1}|^2 |\mathbf{p}_{i_2}|^2 |\mathbf{p}_{i_3}|^2 \geq \\ &\geq |\det(\mathbf{u}, \mathbf{p}_{i_1}, \mathbf{p}_{i_2}) \cdot \det(\mathbf{u}, \mathbf{p}_{i_2}, \mathbf{p}_{i_3}) \cdot \det(\mathbf{u}, \mathbf{p}_{i_3}, \mathbf{p}_{i_1})| \geq 1. \end{aligned}$$

Таким образом, существует константа  $c_2 > 0$ , такая что

$$\det St_{\mathbf{w}} = \det St_{\mathbf{u}} \geq |\det(\mathbf{p}_{i_1}, \mathbf{p}_{i_2}, \mathbf{p}_{i_3})| \geq c_2 \Pi(\mathbf{u})^{-3/2} = c_2 \Pi(\mathbf{w})^{-3/2}.$$

Учитывая, что это неравенство получено в предположении (18), остаётся положить  $c = \min(c_1, c_2)$ .  $\square$

Из предложения 1 следует (16) и, стало быть, и (14). Теорема 1 доказана.

## 4 Об обращении предложения 1

Опишем пример, показывающий, что буквальное обращение предложения 1 невозможно. Возьмём произвольное целое  $n \geq 3$  и положим

$$\mathbf{e}_1 = (n, 1, 0), \quad \mathbf{e}_2 = (0, n, 1), \quad \mathbf{e}_3 = (1, 0, n), \quad \mathbf{v} = (1, 1, 1).$$

Рассмотрим конус  $\mathcal{C}$  с вершиной в начале координат и рёбрами, порождёнными векторами  $\mathbf{e}_1, \mathbf{e}_2, \mathbf{e}_3$ . Полиэдр Клейна  $\mathcal{K} = \text{conv}(\mathcal{C} \cap \mathbb{Z}^3 \setminus \{\mathbf{0}\})$  имеет три ограниченные грани и три неограниченные. Ограниченные грани суть треугольники  $\mathbf{v}\mathbf{e}_1\mathbf{e}_2, \mathbf{v}\mathbf{e}_2\mathbf{e}_3, \mathbf{v}\mathbf{e}_3\mathbf{e}_1$ . Действительно, тетраэдр  $\mathbf{0}\mathbf{v}\mathbf{e}_1\mathbf{e}_2$  пуст (в том смысле, что он не содержит целых точек, отличных от вершин), ибо он «зажат» между плоскостями  $x_3 = 0$  и  $x_3 = 1$ , в то время как векторы  $\mathbf{e}_1 - \mathbf{0}$  и  $\mathbf{e}_2 - \mathbf{v}$  примитивны. Аналогично, пусты тетраэдры  $\mathbf{0}\mathbf{v}\mathbf{e}_2\mathbf{e}_3$  и  $\mathbf{0}\mathbf{v}\mathbf{e}_3\mathbf{e}_1$ . Стало быть, в вершине  $\mathbf{v}$  сходятся три грани —  $\mathbf{v}\mathbf{e}_1\mathbf{e}_2, \mathbf{v}\mathbf{e}_2\mathbf{e}_3$  и  $\mathbf{v}\mathbf{e}_3\mathbf{e}_1$ . Определитель рёберной звезды  $St_{\mathbf{v}}$  равен

$$\det St_{\mathbf{v}} = |\det(\mathbf{e}_1 - \mathbf{v}, \mathbf{e}_2 - \mathbf{v}, \mathbf{e}_3 - \mathbf{v})| = \begin{vmatrix} n-1 & 1 & 0 \\ 0 & n-1 & 1 \\ 1 & 0 & n-1 \end{vmatrix} = (n-1)^3 - 1.$$

Определим линейные формы  $L_1, L_2, L_3$  строчками матрицы

$$A = (n^3 + 1)^{-2/3} \begin{pmatrix} n^2 & 1 & -n \\ -n & n^2 & 1 \\ 1 & -n & n^2 \end{pmatrix}.$$

Тогда  $L_i(\mathbf{e}_j) = 0$  при  $i \neq j$  и  $\det A = 1$ . Положим

$$\Lambda = AZ^3, \quad \mathcal{K}' = A\mathcal{K}, \quad \mathbf{w} = A\mathbf{v}.$$

Тогда  $\mathbf{w}$  — вершина  $\mathcal{K}'$ ,

$$\Pi(\mathbf{w}) = L_1(\mathbf{v})L_2(\mathbf{v})L_3(\mathbf{v}) = \frac{(n^2 - n + 1)^3}{(n^3 + 1)^2} \asymp 1 \quad \text{при } n \rightarrow \infty \quad (24)$$

и

$$\det \text{St}_{\mathbf{w}} = \det \text{St}_{\mathbf{v}} = (n - 1)^3 - 1 \asymp n^3 \quad \text{при } n \rightarrow \infty. \quad (25)$$

Решётку  $\Lambda$ , разумеется, можно немного «подправить», чтобы она не имела ненулевых точек на координатных плоскостях. Например, для малого положительного  $\varepsilon$  можно взять вместо  $A$  матрицу

$$A_\varepsilon = A + \begin{pmatrix} 0 & 0 & \varepsilon \\ \varepsilon & 0 & 0 \\ 0 & \varepsilon & 0 \end{pmatrix}.$$

Тогда при  $\varepsilon$  достаточно малом точка  $\mathbf{v}$  будет оставаться вершиной соответствующего полиэдра Клейна, треугольники  $\mathbf{v}\mathbf{e}_1\mathbf{e}_2$ ,  $\mathbf{v}\mathbf{e}_2\mathbf{e}_3$ ,  $\mathbf{v}\mathbf{e}_3\mathbf{e}_1$  будут оставаться его гранями и, стало быть, будет сохраняться рёберная звезда  $\text{St}_{\mathbf{v}}$ . При этом ввиду (24) и (25)  $\Pi(\mathbf{w})$  будет отделено от нуля, в то время как  $\det \text{St}_{\mathbf{w}}$  может быть сколь угодно большим.

Итак, буквальное обращение предложения 1 невозможно. Тем не менее, уместно отметить, что в [6] доказано, что  $\Pi(\mathbf{x})$  отделено от нуля на ненулевых точках решётки  $\Lambda$  тогда и только тогда, когда ограничены определители рёберных звёзд и граней полиэдра Клейна решётки  $\Lambda$ , соответствующего положительному ортанту. Чтобы получить такой результат, необходимо рассматривать вершины как самого полиэдра  $\mathcal{K}$ , так и смежных с ним — соответствующих другим ортантам. Так мы приходим к двум вопросам, ответы на которые позволили бы обратить неравенство (14) (изменив, возможно, константу).

*Вопрос 1:* Верно ли, что если  $\det \text{St}_{\mathbf{v}}$  велик, то «вблизи»  $\mathbf{v}$  найдётся вершина  $\mathbf{v}'$  одного из 8 полиэдров Клейна решётки  $\Lambda$  с малым  $\Pi(\mathbf{v}')$ ?

*Вопрос 2:* Существует ли отличный от  $\det \text{St}_{\mathbf{v}}$  целочисленный аффинный инвариант рёберной звезды, для которого справедлив «обратимый» аналог предложения 1?

**Благодарности.** Второй автор является победителем конкурса «Junior Leader» Фонда развития теоретической физики и математики «БАЗИС» и хотел бы поблагодарить жюри и спонсоров конкурса.

## Список литературы

- [1] O. N. GERMAN, I. A. TLYUSTANGELOV *Palindromes and periodic continued fractions*. Moscow Journal of Combinatorics and Number Theory, **6**:2–3 (2016), 354–373.
- [2] Е. И. КОРКИНА *Двумерные цепные дроби. Самые простые примеры*. Тр. МИАН., **209** (1995), 143–166.
- [3] O. N. KARPENKOV *Geometry of Continued Fractions*. Algorithms and Computation in Mathematics, **26**, Springer-Verlag (2013).

- [4] J.-O. MOUSSAFIR *Convex hulls of integral points*. Зап. научн. сем. ПОМИ, **266** (2000), 188–217.
- [5] O. N. GERMAN *Klein polyhedra and norm minima of lattices*, Doklady Mathematics **406:3** (2006), 38–41.
- [6] O. N. GERMAN *Klein polyhedra and lattices with positive norm minima*, Journal de Théorie des Nombres de Bordeaux, **19** (2007), 157–190.